

14  
И Н С Т И Т У Т  
ЯДЕРНОЙ ФИЗИКИ СОАН СССР

ПРЕПРИНТ ИЯФ 77-19

Б.А.Румянцев

КОГЕРЕНТНОЕ ВОЗБУЖДЕНИЕ ГИГАНТСКИХ  
РЕЗОНАНСОВ В РЕАКЦИЯХ С ТЯЖЕЛЫМИ  
ИОНАМИ

Новосибирск

1977

КОГЕРЕНТНОЕ ВОЗБУЖДЕНИЕ ГИГАНТСКИХ РЕЗОНАНСОВ  
В РЕАКЦИЯХ С ТЯЖЕЛЫМИ ИОНАМИ

Б.А.Румянцев

Институт ядерной физики СО АН СССР, Новосибирск

1. Введение

Результат численных экспериментов моделирующих рассеяние тяжелых ионов парными соударениями нуклонов на массовой поверхности /1-3/, ставят под сомнение применимость гидродинамики для описания этого процесса /4/. Рассматриваемый в нашей работе эффект когерентной генерации гигантских резонансов не связан условием статистического равновесия возбужденных ядер и в некотором смысле подобен эффекту Черенкова. Для его реализации необходимы лишь достаточно широкий частотный спектр коллективных колебаний ядра и быстро движущаяся через ядро - мишень макроскопическое возмущение плотности.

Другими словами, речь пойдет о процессе, изображенном на рис.1.

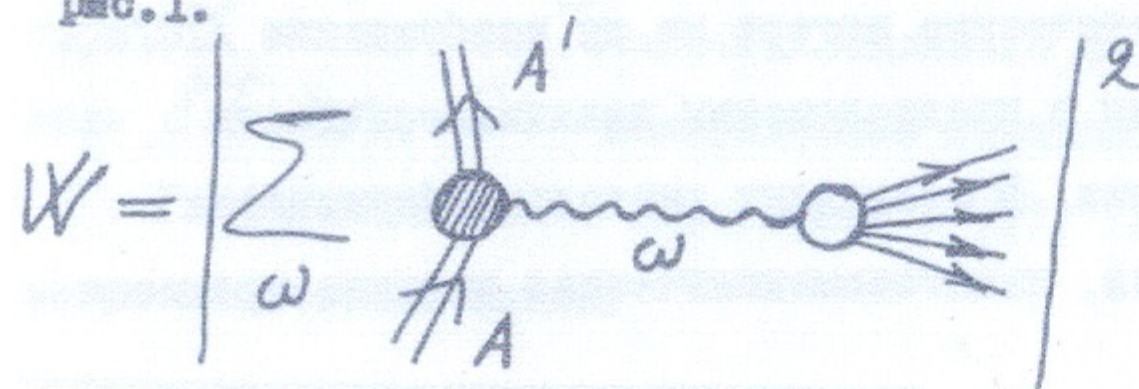


Рис.1.

Если энергия налетающего иона A достаточно велика ("сверхзвуковой" режим) то амплитуды с разными  $\omega$  складываются когерентно.

На классическом языке это означает, что внутри ядра-мишени формируется резкий пакет волн - черенковский конус. Для локализации его внутри ядра требуется и локальность коллективной моды  $|\omega\rangle$ , формирующей пакет. Кроме того, пространственный масштаб возмущения плотности и декремент колебаний  $\Gamma(\omega)$  должны быть достаточно малы для существования "волновой зоны" излучения. "Выплескивание" части из ядра фронтом черенковского конуса (правая вершина на рис. I) результативно очень похожа на действие ударной волны, поэтому исследуемый нами эффект может оказаться полезным при анализе экспериментов по поиску ударных волн в ядрах. Заметим, что впервые на этот эффект было указано в работе /5/ (в 1959 году!).

Дальнейшее изложение состоит из четырех разделов. Сначала мы покажем (в рамках теории конечных ферми-систем /6/) законность гидродинамического описания гигантских резонансов /7/. Затем, в простейшей аппроксимации (однородная ферми - жидкость) оценим вероятность "выплескивания" /8/, а также угловые и энергетические спектры испускаемых нуклонов /9/. В третьей части исследуется пространственно-временная картина когерентной генерации гигантских резонансов в конечном ядре с учетом затухания  $\Gamma(\omega)$ , а также энергетические потери на их возбуждение /10/. Все вычисления проделаны в предположении квазиклассичности движения налетающего нона. В последних разделах обсуждается роль нелинейных эффектов, квантовомеханическая картина процесса и нерешенные задачи.

## 2. Гидродинамический режим для коллективных колебаний ядра

В этом разделе мы получим уравнения гидродинамики в т.н. "акустическом" (линейном) приближении /11/.

$$\frac{\partial}{\partial t} \delta \rho(\vec{x}, t) \equiv \delta \dot{\rho} = - \operatorname{div} \left( \rho(\vec{x}) \frac{\partial \psi(\vec{x}, t)}{\partial \vec{x}} \right) \equiv - \operatorname{div} \vec{J} \quad (1)$$

$$\dot{\psi}(\vec{x}, t) = - \delta P(\vec{x}, t) = - \int d\vec{x}' G(\vec{x}|\vec{x}') \delta \rho(\vec{x}', t) \quad (2)$$

исходя <sup>из</sup> микроскопических уравнений метода зависящего от времени Хартри-Фока <sup>2)</sup>

Основное уравнение этого метода для вариации матрицы плотности  $\delta \rho(\vec{x}; \vec{x}', t)$  имеет вид

$$i \delta \dot{\rho} = [\delta \rho; S] + [\rho; V] \quad (3)$$

где

$$V(t) = \operatorname{Tr}_2 (G_{11} \delta \rho(t)) \quad (4)$$

Скобки в (3) означают коммутатор,  $S = P^2/2 + \Sigma(\vec{x})$  - самосогласованный гамма-гемальтоньян,  $\rho$  - матрица плотности основного состояния ядра,  $V$  - изменение самосогласованного потенциала (эффективное поле  $\delta Z$  /6/),  $G$  - мекнуклонное взаимодействие,  $\hbar = m = 1$ .

Гидродинамические переменные в (1), (2) имеют следующий микроскопический аналог

2) Ниже мы ограничимся силами  $G$ , зависящими только от пространственных координат. Роль спиновых и скоростных членов в  $G$  обсуждается в заключении.

$$\rho(\vec{x}) = \rho(\vec{x}|\vec{x}') \Big|_{\vec{x}'=\vec{x}} - \text{плотность в равновесном состоянии} \quad (5)$$

$$\delta\rho(\vec{x},t) = \delta\rho(\vec{x}|\vec{x}',t) \Big|_{\vec{x}'=\vec{x}} - \text{вариация плотности} \quad (6)$$

$$\delta P(\vec{x},t) = \int d\vec{x}' \frac{\delta P(\vec{x})}{\delta \rho(\vec{x}')} \delta\rho(\vec{x}',t) \equiv \int d\vec{x}' Q(\vec{x}|\vec{x}') \delta\rho(\vec{x}',t) \quad (7)$$

- отклонение давления от равновесного

$$\psi(\vec{x},t) = - \int d\vec{x}' V(\vec{x},t) - \text{потенциал поля скоростей} \quad (8)$$

Отметим, сходство выражения (8) с определенным потенциалом поля скоростей в гидродинамике сверхтекучего ядра /12/. Роль потенциала скоростей в последнем случае играет фаза параметра куперовского спаривания  $\Delta(\vec{x},t) = |\Delta| e^{i\psi(\vec{x},t)}$ . Для нормальной системы фазовое преобразование имеет сходный вид  $\exp(-i \int d\vec{x}' \delta\Sigma(\vec{x}',t))$  ( $\delta\Sigma = V(\vec{x},t)$  - вариация самосогласованного поля).

Стандартный метод вывода гидродинамических уравнений из кинематического состоит в разложении последнего по малому параметру /13/

$$l/\lambda \ll 1 \quad (9)$$

где  $\lambda$  - характерный масштаб коллективного движения (длина волны звука), а  $l$  - длина свободного пробега частиц. В нагретых системах малость в (9), обеспечивается столкновениями частиц. В холодном ядре роль  $l$  играет величина ( $v_F$  - скорость ферми)

$$l \sim v_F/\omega \sim v_F T \quad (10)$$

т.е. расстояние, пройденное нуклонами за период коллективного движения ( $T = 2\pi/\omega$ ). Поэтому, локальный (гидродинамический) режим для коллективных колебаний ядра имеет место лишь для

аго высокочастотной ветви. Критерий макроскопического описания колебаний следует из (9) и (10) ( $\lambda \sim c_s/\omega$ ) /14/

$$c_s \gg v_F \quad (11)$$

( $c_s$  - скорость нулевого звука)

Практический вывод уравнения (2) (уравнение (1) выполняется в силу определения (8)) проще всего привести в представлении  $\psi_v(\vec{x})$  - собственных функций  $S$  и  $\rho$ .

$$\rho_{v1} = \delta_{v1} n_v; \quad S_{v1} = \delta_{v1} \epsilon_v$$

Для фурье - компонент  $\delta\rho_\omega(vv')$ , имеем

$$\delta\rho_\omega(vv') = \frac{n_v - n_{v'}}{\epsilon_v - \epsilon_{v'} + \omega} V_\omega(vv') \quad (12)$$

Разлагая правую часть в (12) по  $z/\omega$  находим

$$-\omega^2 \delta\rho_\omega(\vec{x}|\vec{x}') \approx \langle \vec{x}' | [\rho; [S; V_\omega]] | \vec{x} \rangle \equiv \text{div}(\rho(\vec{x}) \frac{\partial V_\omega}{\partial \vec{x}}) \quad (13)$$

Используя тождество (8) ( $V = -\dot{\psi}$ ) окончательно найдем

$$\delta\rho^*(\vec{x},t) + \text{div}(\rho(\vec{x}) \frac{\partial \psi(\vec{x},t)}{\partial \vec{x}}) = 0$$

т.е. уравнение непрерывности (1).

Вычисляя ток  $\vec{j}_\omega(\vec{x})$  в возбужденном состоянии  $|\omega\rangle^*$

$$2i\vec{j}_\omega(\vec{x}) = \lim_{\vec{x}' \rightarrow \vec{x}} (\nabla - \nabla') \delta\rho_\omega(\vec{x}|\vec{x}')$$

в высокочастотном пределе, имеем

$$i\omega \vec{j}_\omega(\vec{x}) \approx -\rho(\vec{x}) \nabla V_\omega$$

а) С точностью до нормировки  $\delta\rho_\omega(\vec{x}|\vec{x}')$  является волновой функцией фонона /15/.

Таким образом, вычисления в первом и во втором порядках по  $1/\omega$  являются согласованными, а величина  $\rho(\vec{r}) \frac{\partial \psi}{\partial \vec{x}}$  в

(I) действительно имеет смысл тока  $\vec{j}(\vec{r}, t)$

Система (I), (2) имеет первый интеграл (энергия)  $\mathcal{H}$

$$\mathcal{H} = \frac{1}{2} \int d\vec{x} \rho(\vec{r}) \left( \frac{\partial \psi}{\partial \vec{x}} \right)^2 + \frac{1}{2} \int d\vec{x} \int d\vec{x}' Q(\vec{r}, \vec{r}') \rho(\vec{r}) \rho(\vec{r}') \quad (14)$$

из которого уравнения (I), (2) могут быть получены по обычным правилам ( $\psi$  и  $\delta\rho$  - канонически сопряженные величины)

$$\dot{\psi} = - \frac{\delta \mathcal{H}}{\delta \delta\rho}, \quad \delta \dot{\rho} = \frac{\delta \mathcal{H}}{\delta \psi} \quad (15)$$

Процедура отделения "духовой" ветви (векторного дипольного резонанса  $J^{\pi} = I^{-}, \omega = 0$ ) имеет стандартную форму /16/. Вычитая из полного гамильтониана ядра энергии движения как цело-

$$\text{го} \quad H \rightarrow H - \frac{\vec{P}^2}{2A}$$

найдём ( $\vec{p}$  - одночастичный импульс,  $A$  - атомный номер)

$$\delta \rho_{\omega}(m) = \frac{n_r - n_{r'}}{\epsilon_r - \epsilon_{r'} + \omega} (V_{\omega}(m) - \vec{P}_{r,r'} \cdot \vec{U})$$

где  $\vec{U} = A^{-1} \text{Tr}(\vec{p} \delta \rho_{\omega})$

В пределе больших частот легко найти

$$\vec{U} \approx \frac{1}{A} \int d\vec{x} \rho(\vec{r}) \frac{\partial \psi}{\partial \vec{x}}$$

а уравнение (I) принимает вид

$$\delta \dot{\rho} + \text{div} \left( \rho(\vec{r}) \left( \frac{\partial \psi}{\partial \vec{x}} - \vec{U} \right) \right) = 0$$

Таким образом, вектор  $\vec{U}$  имеет смысл скорости ядра как целого. В гамильтониане (14) кинетическая энергия преобразуется обычным образом.

$$\frac{1}{2} \int d\vec{x} \rho(\vec{r}) \left( \frac{\partial \psi}{\partial \vec{x}} - \vec{U} \right)^2$$

Обсудим теперь область применимости найденных нами уравнений (I), (2). Удобно исследовать уравнение для эффективного поля  $V$ . В базисе  $\psi(\vec{r})$ , имеем

$$V_{\omega}(12) = \sum_{22'} \langle 12 | Q | 22' \rangle \frac{n_2 - n_{2'}}{\epsilon_2 - \epsilon_{2'} + \omega} V_{\omega}(22') \quad (16)$$

Предполагая частоту  $\omega$  много больше характерной энергии частично-дырочных переходов  $|\epsilon_2 - \epsilon_{2'}|$ , давших вклад в (16), т.е.

$$\omega \gg |\epsilon_2 - \epsilon_{2'}| \quad (17)$$

в координатном представлении найдём /17/

$$-\omega^2 V_{\omega}(\vec{r}) \approx \int d\vec{x}' Q(\vec{r}, \vec{r}') \text{div} \left( \rho(\vec{r}') \frac{\partial V_{\omega}}{\partial \vec{x}'} \right) \quad (18)$$

(это уравнение может быть получено из (I), (2) исключением  $\delta\rho$ )

Подставляя в (18) простейшую параметризацию взаимодействия /6/ в теории конечных ферми-систем

$$Q(\vec{r}, \vec{r}') = f \frac{dn}{d\epsilon} \delta(\vec{r} - \vec{r}'), \quad n = \frac{\rho_F^3}{3\pi^2} \equiv \rho_0 \quad (19)$$

( $f$  - скалярная амплитуда рассеяния,  $\epsilon_F = p_F^2/2$  - энергия Ферми) перепишем (18) в форме

$$\text{div} \left( n(\vec{r}) \frac{\partial V_{\omega}}{\partial \vec{x}} \right) + \omega^2 / c_s^2 V_{\omega}(\vec{r}) = 0 \quad (18a)$$

где  $c_s^2 = p_F^2 f / 3$ ;  $n(\vec{r}) = \rho(\vec{r}) / \rho_0$  - безразмерная плотность.

Масштаб изменения  $V_{\omega}(\vec{r})$  (длина волны) согласно (18a) имеет порядок  $\lambda \sim c_s / \omega$ . Тогда, характерная энергия перехода в матричном элементе  $V_{\omega}(m)$  равна ( $R$  - радиус ядра)

$$|\varepsilon_r - \varepsilon_{v1}| \approx \frac{\partial \varepsilon_r}{\partial v} \delta v \sim \frac{\partial \varepsilon_r}{\partial v} \frac{R}{\lambda} \sim \varepsilon_F A^{-1/2} \frac{R}{\lambda} \quad (20)$$

Используя (20) перепишем неравенство (17) в виде<sup>\*)</sup>

$$\omega \gg \varepsilon_F A^{-1/2} \frac{R}{\lambda} \sim v_F / \lambda$$

в согласии с физическими оценками (9), (10).

Фактически критерий применимости оказывается менее жестким, вследствие правила отбора по орбитальному моменту. Радиальная зависимость эффективного поля слабо влияет на разность  $\varepsilon_r - \varepsilon_{v1}$  и  $\delta v$  в (20) имеет порядок  $L$ , а не  $R/\lambda (>L)$  ( $L$  - мультипольность гигантского резонанса) /17/.

Рассмотрим теперь граничные условия к системе интегро-дифференциальных уравнений (1), (2). В исходном (микроскопическом) уравнении (3) граничные условия автоматически заданы асимптотической волновой функцией  $Y_v(x)$ . В найденных макроскопических уравнениях (1), (2) следы от нее остались только в интегральных величинах - плотности  $\rho(x)$ , ее градиентах и т.д.<sup>\*\*)</sup> С другой стороны уравнения последовательной макроскопической теории не должны содержать микроскопический масштаб (радиус смя  $r_0$ , параметр диффузности границы  $a$  и т.п.). Это означает, что пропорциональные градиентам плотности (и одночастичного потенциала  $Z(x)$ ) члены, определяют граничные условия к дифференциальным уравнениям гидродинамики.

Получим граничное условие в задаче на собственные значения

\*) Аналогичный, в физическом плане, критерий гидродинамического режима был получен в /12/ для сверхтекучего ядра ( $|A| \gg v_F / \lambda$ )

\*\*) В частности, в высокочастотном пределе (17) теряется мнимая часть пропагатора в (16) ( $\sim i\pi \delta(\varepsilon_r - \varepsilon_{v1} + \omega)$ ), отвечающая распаду гигантского резонанса по нуклонному каналу.

для объемных колебаний ядра. Полагая  $\delta \rho(t) \sim Y(t) \sim e^{-i\omega t}$  для  $Y_\omega(x)$ , имеем

$$-\omega^2 Y_\omega(x) = \int dx' (G(x, x')) \operatorname{div}(\rho(x')) \frac{\partial Y_\omega}{\partial x'} \quad (21)$$

Отметим, что для <sup>не</sup>нулевого радиуса смя  $G$ , оператор в первой части (21), неэрмитов и сопряженным к (21) является уравнение (18). Легко проверить, что функции  $\delta \rho_\omega$  и  $Y_\omega$  (или  $V_\omega$ ) образуют ортонормированный набор. Для  $\delta$ -смя уравнение (21) имеет вид (18a)

$$\operatorname{div}(n(x) \nabla Y_\omega) + \omega^2 / c_s^2 Y_\omega = 0$$

Уравнение для  $Y_\omega$  и граничное условие получается из (18a) хорошо известным в теории плазмы приемом — "интегрированием по слою". Интегрируя уравнение (18a) вблизи края ядра, в интервале шириной  $L$  ( $\lambda \gg L \gg a$ ) найдем (имея в виду  $\omega < \varepsilon_F$ )

$$\frac{\partial Y_\omega}{\partial x} \Big|_{\text{граница}} \approx 0 \quad (22)$$

Физический смысл этого условия состоит в равенстве нулю скорости коллективного движения на границе ядра.

Решение (18a) с естественными граничными условиями ( $Y_\omega(x \rightarrow \infty) \rightarrow 0$ ) приводит к физически неудовлетворительному результату - сплошному спектру собственных частот. В этом легко убедиться вычисляя, асимптотику  $Y_\omega(x \rightarrow \infty)$  для плотности  $\rho(x)$  обычного вида<sup>\*)</sup>

$$n(x) = \left(1 + \exp\left(\frac{x-R}{a}\right)\right)^{-1} \quad (23)$$

\*) Удобной переменной для исследования асимптотики  $Y_\omega(x)$  в общем случае является:  $f(x) = \int \frac{dx}{x^2 \rho(x)}$

Для больших  $x$ ,  $U_\omega(x)$  имеет, в случае (23), неубывающую асимптотику

$$U_\omega(x) \sim (n(x))^{-4/3} \cos 2 \left( \frac{\omega a}{c_3 \sqrt{n(x)}} \right)$$

Учёт нелокальности в (21), связанной радиусу сна  $r_0$  не устраняет отмеченную трудность /17/. Детальный ход  $U_\omega(x)$  на краю системы зависит от ряда факторов — радиуса сна, вида плотности и т.д. Однако, основную роль играет "сшивки" объёмной моды с адиабатическими "квантовыми капиллярными волнами" /18/, для которых  $V(x) \sim \partial \Sigma / \partial x$ .

В заключении раздела мы кратко рассмотрим возможность существования в ядре высокочастотной поверхности (рябевской) моды. Исследованная в серии работ Ходеля /18/ поверхностная ветвь колебаний ядра ("квантовые капиллярные волны") реализуется в адиабатическом ( $\omega \rightarrow 0$ ) пределе. Очевидно, что за период колебаний ( $T = 2\pi/\omega$ ) нуклоны ядра, формирующие пространственную структуру волны, покинут её. Таким образом, когерентность этой ветви обеспечивается притоком частиц отраженных, с определёнными фазовыми соотношениями, от стенок ядра<sup>\*)</sup>. В полуограниченной системе отражения и квантование одночастичного спектра отсутствуют, а ветвь Ходеля исчезает.

В классической жидкости длина волны колебаний много больше диффузности края (и радиуса сна), иначе лишено смысла само понятие резкой границы. Покажем, что решение такого типа содержится в системе уравнений (1), (2). Рассматривая для простоты полубесконечную геометрию ( $\rho(x) = \rho(z)$ ), ищем вариации плотности  $\delta \rho$  в виде

\*) На это указывает важность условия согласования одночастичного потенциала и плотности, являющегося следствием трансляционной инвариантности взаимодействия  $G$ .

$$\delta \rho(\vec{x}, t) = \partial \rho / \partial z \cdot \eta(\vec{x}_1, t)$$

где  $\eta(\vec{x}_1, t)$  имеет смысл уравнения модулированной поверхности. Подставляя (24) в уравнение (1), имеем выражение

$$\frac{\partial \rho}{\partial z} \left( \dot{\eta} - \frac{\partial \eta}{\partial z} \right) = \rho(z) \Delta \eta$$

которое, очевидно, распадается на два уравнения

$$\Delta \eta(\vec{x}; t) = 0 \quad (\text{в объеме})$$

$$\dot{\eta}(\vec{x}_1, t) = \frac{\partial \eta}{\partial z} \quad (\text{на поверхности})$$

Таким образом,  $\eta(\vec{x}, t)$  — гармоническая функция (у Ходеля

$$\eta(z) \sim V(z) \sim \partial \Sigma / \partial z \quad !). \text{ Второе уравнение пред-}$$

ставляет собой граничное условие — скорость на поверхности

$\frac{\partial \eta}{\partial z} \Big|_{z=0}$  равна скорости границы  $\dot{\eta}$ . Динамическое граничное условие, определяющее спектр собственных частот мы обсудим в другом месте

### 3. Черенковское излучение нулевого звука.

#### "Выплескивание" нуклонов

Здесь мы рассмотрим процесс, изображенный на рис. I, в однородной ферми-жидкости. Кроме вычислительной простоты и наглядности этой модели, полученные результаты носят полуквантовый характер, поскольку исследуемый эффект является объёмным. Предварительно мы получим формулы, пригодные и в общем случае конечного ядра.

Физическая постановка задачи такова. Сначала мы найдём поле, генерируемое налетающим ионом в ядре — ионизи  $V(\vec{x}, t)$ . Затем, вероятность "выплескивания"  $W_{i \rightarrow f}$  находит считая это поле внешним для нуклонов ядра, используя временную теорию возмущений

$$W_{i \rightarrow f} = \left| \int_{-\infty}^{\infty} dt e^{-i(E_i - E_f)t} (f | V(\vec{r}, t) | i) \right|^2 \quad (25)$$

( $|i\rangle$  и  $|f\rangle$ ) - соответственно основное и возбужденное состояние ядра-мишени). Ниже рассмотрена строго квантовомеханическая картина эффекта и указана область применимости квазиклассической аппроксимации (25). В этом разделе мы отметим только, что в черенковском ("сверхзвуковом") режиме главный вклад в  $W_{i \rightarrow f}$  вносят амплитуды с фоном  $|\omega\rangle$  на массовой поверхности. Диаграмма на рис. I факторизуется тогда на амплитуду возбуждения фона и амплитуду "выплескивания" нуклона ( $V(\vec{r}, t)$  - одночастичный оператор).

Для решения поставленной нами задачи необходимо в уравнениях (1), (2) учесть внешнее поле  $V(\vec{r}, t)$ . Исходное уравнение (3) дополняется членом  $[p, V]$  в правой части

$$i\dot{p} = [p, H] + [p, V] + [p, \dot{V}] \quad (26)$$

Переходя к фурье-компонентам по  $t$ , в пределе больших  $\omega$  (17) из (26) получим

$$-\omega^2 V(\vec{r}) = \int d\vec{r}' G(\vec{r}, \vec{r}') \operatorname{div}(\rho \vec{v}) - \omega^2 V_0(\vec{r}) \quad (27)$$

Поле  $V$  внешнего налетающего ядра мы аппроксимируем обычным образом

$$V(\vec{r}, t) = \int d\vec{r}' G(\vec{r}, \vec{r}') \delta\rho^0(\vec{r}', t) \quad (28)$$

где  $\delta\rho^0(\vec{r}, t)$  - внешнее возмущение плотности, а  $G$  - взаимодействие. Формула (28) получается усреднением микроскопического гамильтониана взаимодействия сталкивающихся ядер и содержит два предположения

- 1) Квазиклассичность движения налетающего ядра
- 2) Пренебрежение внутренним возбуждением налетающего ядра.

Пренебрегая, для простоты, отличием  $\bar{G}$  от  $G$ , для  $\delta\rho^0$ -ска (19), перепишем (27) в форме волнового уравнения для  $V(\vec{r}, t)$  на /15/

$$\square V \equiv (\Delta - 1/c_s^2 \frac{\partial^2}{\partial t^2}) V = -\frac{\partial^2}{\partial t^2} \frac{\int \rho^0(\vec{r}, t)}{\rho_0} \quad (29)$$

Перейдем теперь к вычислению вероятностей (25) в неограниченной ферми-жидкости. Матричные элементы от  $V(\vec{r}, t)$ , в (25), с рождением частично-дырочной пары выражаются через фурье-образ  $V(\vec{r}, \omega)$

$$V(\vec{r}, \omega) = \frac{\omega^2}{\omega^2 - k^2 c_s^2} \delta\rho^0(\vec{r}, \omega) \quad (30)$$

где следует положить

$$\vec{r} = \vec{p} - \vec{p}', \quad \omega = \epsilon_p - \epsilon_{p'}$$

Пренебрегая торможением налетающего ядра (т.е.  $\delta\rho^0(\vec{r}, t) \rightarrow \delta\rho^0(\vec{r} - \vec{v}t)$ ), имеем

$$\delta\rho^0(\vec{r}, \omega) = \delta(\omega - \vec{r}\vec{v}) \delta\rho^0(\vec{r}) \quad (31)$$

( $\vec{v}$  - скорость ядра, а  $\delta\rho^0(\vec{r})$  - его форм-фактор).

Подставляя (30) в (25) и суммируя по импульсам дырки  $\vec{p}'$ , найдём вероятность эмиссии частицы с импульсом  $\vec{p}$  /9/ ( $n_{\vec{p}}$  - числа заполнения нуклонов,  $n_{\vec{p}} = \theta(p_F - p)$ )

$$\frac{dW}{d\vec{p}} = \frac{\pi^2 T^2}{16 p_F^2} \sum_{\vec{p}'} n_{\vec{p}'} |\delta\rho^0(\vec{r})|^2 \delta(\omega_{\vec{p}\vec{p}'} - \vec{r}\vec{v}) \delta(\omega_{\vec{p}\vec{p}'}^2 - k^2 c_s^2) (k c_s)^3 \quad (32)$$

Разъяснения здесь требует лишь множитель  $T^2$ , где  $T \sim R/c_s$  - характерное время процесса. Диаграмма на рис. I с промежуточным состоянием  $|\omega\rangle$  на массовой поверхности (затухание  $\Gamma(\omega) = 0$ ) факторизуется на произведение вероятностей, каждая из которых  $\sim T$ . Отсюда и следует множитель  $T^2$ .

ж) Учёт других каналов эмиссии (кроме "выплескивания") приведёт к замене  $T^2 \rightarrow T/\Gamma$ , где  $\Gamma$  - полная ширина распада в сплошной спектр.



Кинематически доступная область изменения импульса  $\vec{p}$  в  $W(\vec{p})$  определяется произведением  $\delta$ -функций в (32)

$$\delta(\omega - \vec{k}\vec{v}) \delta(\omega^2 - k^2 c_s^2) \quad (33)$$

откуда непосредственно следует условие излучения:  $c_s/v < 1$ .

$$\cos \theta = c_s/v$$

где  $\theta$  - угол между векторами  $\vec{p}-\vec{p}'$  и  $\vec{v}$ . Если пренебречь импульсом дырки  $\vec{p}'$ , то (33) фиксирует импульс  $p = 2c_s$  и угол (относительно  $\vec{v}$ ) испускаемого нуклона

$$p = 2c_s, \quad \cos \theta_0 = \frac{\vec{p}\vec{v}}{pv} = c_s/v \quad (34)$$

( $\theta_0$  - черенковский угол)

Такой  $\delta$ -образный спектр имел бы место в классическом случае столкновения массивной частицы, движущейся со скоростью  $c_s$  (фронт ударной волны) с покоящимися легкими частицами (нуклоны). Фермиевское движение нуклонов ядра (интегрирование по импульсу дырки) расширяет кинематически доступную область импульсов вторичных частиц  $\vec{p}$ . Параметром размытия является отношение

$$p_F/2c_s.$$

Интегрирование в (32) легко выполняется аналитически в предположении точечности налетающей частицы ( $\delta\rho_{\vec{r}} = \text{const}$ ).

$$\begin{aligned} \frac{dW}{d\vec{p}} &= \frac{p^2 T^2 p^2 c_s}{32 p_F^2 \beta} \theta \left[ \cos(\alpha - \theta_0) - \frac{p^2 - p_F^2 + 4c_s^2}{4pc_s} \right] \times \left[ \pi \theta \left[ \cos(\alpha + \theta_0) - \frac{p^2 - p_F^2 + 4c_s^2}{4pc_s} \right] \times \right. \\ &\times \left[ \frac{1}{2} \sin^2 \alpha \cdot (1 - 1/\beta^2) + \left( \frac{\cos \alpha}{\beta} - \frac{c_s}{p} \right)^2 \right] + \theta \left[ \frac{p^2 - p_F^2 + 4c_s^2}{4pc_s} - \cos(\alpha + \theta_0) \right] \times \\ &\times \left[ \frac{1}{2} \sin^2 \alpha \cdot (1 - 1/\beta^2) \sin 2\varphi_0 + 2 \sin \alpha \cdot \sqrt{1 - 1/\beta^2} \left( \frac{\cos \alpha}{\beta} - \frac{c_s}{p} \right) \sin \varphi_0 \right] \end{aligned} \quad (35)$$

$$\varphi_0 = \arccos \left\{ \frac{1}{\sin \alpha \sqrt{1 - 1/\beta^2}} \left( \frac{p^2 - p_F^2 + 4c_s^2}{4pc_s} - \frac{\cos \alpha}{\beta} \right) \right\};$$

$$\beta = v/c_s$$

откуда непосредственно следует приведенные выше результаты.

Формула (35) правильно передает основные характеристики спектров нуклонов - положение и ширину максимумов, однако непригодна для оценки интегральной вероятности "выплескивания" некоторых тонких деталей распределения. Действительно, интеграл по импульсам  $\vec{p}$ , как, это следует из (32) сидит на верхнем пределе. Физически это означает, что главный вклад в  $W$  вносит область фронта ударной волны, который формируется коротковолновой частью спектра фононов. В приближении точечного источника поле  $V(\vec{r}, t)$  на фронте бесконечно, поэтому интегральная вероятность чувствительна к параметрам обрезания высокочастотные гармоники генерируемого спектра  $\omega(k)$ . Наиболее существенно обрезание связано с размером налетающего нона  $a$ . Дисперсия взаимодействия  $\mathcal{Q}(\vec{k})$  становится существенной для  $k \sim p_F \Rightarrow 1/a$ .

Аппроксимируя возмущенные плотности  $\delta\rho^0$  шаром радиуса  $a$  постоянной плотности  $\rho^0$ , найдем ( $j_1$  - сферическая функция Бесселя)

$$\delta\rho_{\vec{r}}^0 = \rho^0 \frac{4\pi a^3}{ka} j_1(ka) \quad (36)$$

Подставляя (36) в (32) и заменяя квадраты быстро осциллирующих функций на их среднее значение, легко показать, что унит фактора (36) уменьшает вероятность  $W$  на величину  $\sim (p_F a)^{-4}$ .

Результаты численного интегрирования в (32) иллюстрируются на рис.2 и рис.2 и рис.3 угловыми  $dW/d\theta$  и импульсными  $dW/dp$  спектрами. Отметим резкое смещение максимума в энергетическом распределении в сторону меньших  $p$ , а также небольшую асимметрию  $W(\theta)$  относительно  $\theta_0$ . Оба эффекта обязаны учету радиуса возмущения  $a$ , подавляющего вклад больших  $k$ . Полная ве-

роптность "выпескивания"

$$W = \int d\vec{p} \frac{dW}{d\vec{p}}$$

После простого интегрирования и подстановки численных множителей оказывается значительной /9/

$$W \approx 0.05 (AA')^{2/3} \frac{c_1}{v}$$

где  $A$  и  $A'$  - атомные номера ядра - мишени и налетающего иона. Поэтому могут оказаться важными многократные процессы возбуждения. Очень интересным эффектом второго порядка (по  $V(\vec{r}, t)$ ) является "выпескивание" пары скоррелированных нуклонов.

В заключение мы коротко обсудим вопрос об энергетических потерях налетающего иона  $E^*$  на возбуждение гигантских резонансов.

Существенны два механизма потерь.

1. Возбуждение коллективных вибраций при внезапном контакте сталкивающихся ядер.

2. Потери на излучение фононов в сверхзвуковом режиме.

В общем случае, для  $E^*(t)$  имеем ( $\omega_\alpha$  - собственные частоты в RPA).

$$E^*(t) = \sum_{\alpha} |a_{\alpha}(t)|^2 \omega_{\alpha} \quad (37)$$

где  $a_{\alpha}(t)$  - коэффициент разложения вариации матрицы плотности  $\delta\rho$  по фононным амплитудам  $\delta\rho_{\alpha}$  (12). Используя уравнение для  $\delta\rho$  с внешним полем  $V^0$  легко показать, что /8/

$$a_{\alpha}(t) = -i \int_0^t dt' e^{-i\omega_{\alpha}(t-t')} \frac{\text{Tr}(\delta\rho_{\alpha}^+ V^0(t'))}{\omega_{\alpha}} \quad (38)$$

Простые аналитические оценки  $E^*$  возможны только в модели однородной ферми-жидкости. Рассмотрим оба эффекта отдельно.

1. Искажение плотности, обязанное взаимному проникновению ядер, аппроксимируем шаром радиуса  $a$

$$\delta\rho^0(\vec{r}, t) = \rho(0) \theta(a-x) \theta(t) \quad (39)$$

В гидродинамическом пределе (17), используя уравнение (13) имеем  $\delta\rho_2(\vec{r}, t) \approx -1/\omega_2^2 \text{div}(\rho(\vec{r}) \nabla V_2(\vec{r})) \rightarrow \rho(0) \frac{V_2(\vec{r})}{c_s^2}$  и для  $E^*$  легко найти (опуская численные множители)

$$E^*(t) \approx \delta A c_s^2 f\left(\frac{c_s t}{a}\right) \quad (40)$$

где  $\delta A \sim \rho(0) a^3$  - число нуклонов в области контакта, а

$$f(\eta) = \begin{cases} \eta(1-\eta^2/6) & \eta < 2 \\ 2/3 & \eta > 2 \end{cases} \quad (41)$$

Ступенчатая зависимость  $E^*$  от времени означает, что поле фононов уходит в волновую зону и потери энергии становятся необратимыми за время  $\tau$  ( - время, в течение которого волны интерферируют на диаметре ядра  $2a$  )

$$\tau = 2a/c_s$$

Если время контакта ядер  $\tau_c$  меньше  $2a/c_s$ , то поле  $V(\vec{r}, t)$  виртуально и диссипация практически отсутствует<sup>\*)</sup>. Таким образом эффект резко зависит от условий реакции - начальной энергии, прицельного параметра и т.д. и носит пороговый характер. Полная потеря кинетической энергии велика

$$E^* \sim \rho A c_s^2 \approx 100 \text{ МэВ}$$

поэтому рассмотренный механизм может играть важную роль в исследовании глубоко-неупругих процессов [23].

2. В "черешковском" режиме ( $v > c_s$ ) возмущение плотности имеет вид (36) ( $\int \rho(\vec{r}, t) = \rho(0) \theta(a - |\vec{r} - \vec{v}t|)$ ). Опуская простые вычисления, приведем окончательный результат для потерь  $E^*$  за время пролета ( $\sim R/a$ )

$$E^* \approx \rho A c_s^2 \left( \frac{\rho A c_s^2}{E_{кин.}} \right) \frac{R}{a}$$

где  $E_{кин.}$  - энергиялетающего иона. Отметим резкое уменьшение потерь с ростом  $E_{кин.}$  - относительные потери  $E^*/E_{кин.}$  падают как  $1/\beta^4$ . Численные оценки  $E^*$  приведены в следующем

\*) Для  $\tau_c < \tau$  формула (41) очевидно непригодна, поскольку в этом случае становится неправильной параметризация возмущения (39) в форме  $\theta(t)$ .

разделе.

#### 4. Пространственно-временная картина генерации гигантских резонансов в конечном ядре.

Выше было отмечено хорошее согласие прямого квантово-механического расчета "выплескивания" нуклонов (25) с классической картиной столкновения ударной волны и покоящихся частиц (34). Можно думать, что этот результат не случаен<sup>\*\*)</sup> и сохранится и в случае эмиссии более сложных фрагментов. Тогда задача с произвольными конечными состояниями может быть разделена на две части. Главная из них - исследование эволюции пакета волн в реальном ядре (учет затухания фононов, конечности ядра, энергетических потерь и т.д.). Что же касается вторичных частиц, то их взаимодействие с фронтом волны можно охарактеризовать некоторой вершиной, типа эффективного числа кластеров. Аналогичный, по существу, подход был предложен Сливом в [19], где эти константы предлагалось находить в методе резонирующих групп.

Для нахождения наведенного элементарным ионом поля  $V(\vec{r}, t)$ , мы воспользуемся уравнением (29), дополнив его диссипативным членом, описывающим затухание гигантского резонанса (распад на некогерентные компаунд-состояния). Вид этих членов в достаточной мере произволен ( $\partial^2/\partial t^2$ ;  $\Delta \frac{\partial}{\partial t}$  и т.д.<sup>\*\*)</sup>. Выбирая простейшую параметризацию, имеем уравнение для  $V(\vec{r}, t)$

$$\left( \Delta - \frac{1}{c_s^2} \frac{\partial^2}{\partial t^2} - \alpha \Delta \frac{\partial}{\partial t} \right) V(\vec{r}, t) = - \frac{\rho^2}{\rho(0)} \frac{\partial^2 \rho(\vec{r}, t)}{\partial t^2}$$

\*) По-видимому он является следствием кинематических особенностей взаимодействия фронта пакета с частицами.

\*\*) Эмпирические данные о ширине  $\Gamma(\omega)$  для  $J^\pi = 1^-$  хорошо описываются выражением:  $\Gamma(\omega) = \text{const} \cdot \omega^2$  [20]. Аналогичная зависимость следует и для нулевого звука в однородной ферми-жидкости [21].

(где  $\alpha \sim 1/\epsilon_F$  - параметр задачи).

Мы будем решать это уравнение разложением  $V(\vec{x}; t)$  в ряд по собственным функциям однородной задачи (18), (22)

$$(\Delta + \omega_d^2/c_s^2)U_d(\vec{x}) = 0, \quad \frac{\partial U_d}{\partial n}|_S = 0$$

считая ядро - мишень сферическим (т.е.  $\alpha = \{n, l, m\}$ ). Кроме того, мы пренебрежем потерями энергии, при заданном движении налетающего иона, т.е.

$$\delta \rho^0(\vec{x}; t) = \delta \rho^0(\vec{x} - \vec{v}t)$$

где  $\vec{v} = const$  - относительная скорость сталкивающихся ядер.

Собственные функции (18), (22) хорошо известны [22].

$$U_{nem}(\vec{x}) = C_{ne} j_l(\alpha_{ne} \frac{x}{R}) Y_{em}(\vec{n})$$

здесь  $j_l$  - сферические функции Бесселя, а собственные числа

$\alpha_{ne} = \omega_{ne} R/c_s$  находятся из дисперсионного уравнения

$j_l'(\alpha_{ne}) = 0$ . Для вычисления  $C_{ne}$  ( $U_{nem}(\vec{x})$  - размерна!) следует обратиться к нормировке метода хаотических фаз (RPA) [15]. Для  $U_d$  легко найти

$$|C_d|^2 \sum_{nr} \frac{n_{nr} - n_r}{v_r(\epsilon_{nr} - \epsilon_r + \omega_d)^2} |U_d(v_{nr})|^2 = \frac{\omega_d}{|\omega_d|} \quad (42)$$

для  $\delta$  - сил (19), в пределе больших  $\omega_d$  сумма в (42) переходит в интеграл

$$|C_d|^2 \int d\vec{x} |U_d(\vec{x})|^2 \approx \frac{|\omega_d| c_s^2}{2 \rho(0)}$$

откуда и находится нормировочная постоянная  $C_{ne}$  в гидродинамическом пределе.

Обсудим выбор возмущения плотности  $\delta \rho^0$ . Учет формфактора налетающего иона важен при вычислении абсолютной величины  $V(\vec{x}; t)$  на фронте пакета. Кроме того, точечный источник неудобен и в техническом плане, поскольку из-за сильной сингулярности  $V$ ,

необходимо учитывать большое число членов разложения  $V$  по  $U_d(\vec{x})$ . К сожалению простое аналитическое представление разумной функции (ступенчатой или Гауссовой формы) рядом по  $j_l Y_{em}$  нам неизвестно. Мы сконструируем протяженный источник следующим образом.\*) В разложении  $\delta(\vec{x} - \vec{v}t)$  по набору  $U_d(\vec{x})$  допишем под сумму множитель  $\exp(-\alpha_{ne}^2 a^2/4)$ , в результате

$$\Delta(\vec{x} - \vec{v}t) = \sum_{ne} \Lambda_{ne}^{-1} \exp(-\frac{\alpha_{ne}^2 a^2}{4}) j_l(\alpha_{ne} \frac{x}{R}) j_l(\alpha_{ne} \tau) \frac{2l+1}{4\pi} P_l(\frac{z}{Rv}) \quad (43)$$

где

$$\Lambda_{ne} = \int_0^1 x^2 dx j_l^2(\alpha_{ne} x); \quad a = R'/R; \quad x = x/R; \quad \tau = \frac{c_s t}{R}$$

$R'$  - радиус налетающего иона,  $P_l$  - полиномы Лежандра.

В однородной системе ( $\alpha \rightarrow \{\vec{p}\}$ ) последняя сумма точно переходит в источник гауссовой формы

$$\Delta(\vec{x} - \vec{v}t) \rightarrow \exp\left(-\frac{(\vec{x} - \vec{v}t)^2}{R'^2}\right) \quad (44)$$

Для контроля приближения (43) численно рассчитывалось отношение (43) к (44). В широком интервале изменения параметра  $R'$  эта величина отличается от единицы всего на несколько процентов. Некоторую трудность представляет разложение движущегося протяженного возмущения  $\delta \rho^0$  в ряд по собственным функциям  $U_d(\vec{x})$ . Набор  $U_d(\vec{x})$  полон лишь в пространстве ядра - мишени. Поэтому, для описания плавного входа возмущения, функция  $\delta \rho^0(\vec{x} - \vec{v}t)$  разлагалась в ряд в шаре радиуса  $2R$  (т.е. включая внешнюю область). Используя затем теорему сложения для функций Бесселя, определялись коэффициенты разложения в ряд по  $j_l(\alpha_{ne} x/R) Y_{em}(\vec{n})$ .

\*) Для простоты мы рассматриваем только центральные соударения, с прицельным параметром равным нулю.

Опуская неприципиальные детали параметризации возмущения, запишем решение уравнения для  $V(\vec{x}, t)$  в виде  $\frac{\pi}{R}$

$$V(\vec{x}, t) = - \sum_{nl} \Lambda_{nl}^{-1} \frac{2l+1}{4\pi} \alpha_{nl} j_l(\alpha_{nl} \frac{x}{R}) \exp(-\frac{\alpha_{nl}^2 t^2}{4}) \int_{-\frac{1}{\beta}}^{\frac{1}{\beta}} d\alpha' \cdot \exp(-\gamma \alpha_{nl}^2 (\tau - \tau')) \sin(\alpha_{nl} (\tau - \tau')) j_l(\alpha_{nl} \beta \tau') P_l(\vec{n} \vec{n}') \quad (45)$$

$$\vec{n} = \vec{x}/x, \quad \vec{n}' = \frac{\vec{x}}{v} \frac{\tau'}{|\tau'|}$$

содержащее три параметра

$$\beta = v/c_3, \quad \gamma = 2 c_3/R, \quad a = R/R \quad (46)$$

В формуле (45) использованы естественные начальные условия - равенство нулю энергии фоновых полей при  $t = 0$ . Отсюда следует, что  $V(0) = \partial V/\partial t|_{t=0} = 0$ .

Функция  $V(\vec{x}, t)$  была протабулирована для ряда значений параметров (46). Число членов в сумме по  $n, l$  в (45) определяется как величиной затухания  $\Gamma_{nl}$ , так и угловыми размерами возмущения  $\delta \rho^0$ . В расчетах мы использовали максимальные значения  $n_{max}$  и  $l_{max}$

$$n_{max} = 6, \quad l_{max} = 3n_{max}$$

гарантирующие малость отброшенных членов.

Результаты вычислений приведены на рис. 4 + 6, где для наглядности "изобарами" изображено отношение  $\delta \rho(\vec{x}, t)/\rho(0)$ .

Имея в виду качественный характер способа введения затухания, мы пренебрегаем квадратичным (по  $\Gamma(\omega)$ ) вкладом в собственные частоты  $\omega_{nl}$ .

"сфотографированное" в тот момент времени, когда возмущение достигло центра ядра-мишени. (для  $\delta$ -сил  $V(\vec{x}, t) = \text{const} \delta \rho(\vec{x}, t)$ ).

Первые два рисунка иллюстрируют пороговый характер возбуждения фононов. Если для  $\beta = v/c_3 = 0.5$  поле обгоняет вылетающую частицу и размазано по объему ядра, то уже при  $\beta = 1.5$  геометрия фронта близка к конусу Маха, причем угол в вершине конуса согласуется с (34). Еще отчетливый эффект сложения волн с разными

$\omega$  проявляется при больших энергиях ( $\beta = 4$ ). Наведенное поле имеет довольно сложную знакопеременную структуру. Это связано с видом правой части уравнения (29) для поля  $V(\vec{x}, t)$

$$-\frac{\partial^2}{\partial t^2} \delta \rho^0(\vec{x} - \vec{v}t) / \rho(0) \quad (47)$$

Возмущение гауссового вида (43), (44) после дифференцирования в (47) приводит к "эффективному" источнику  $\delta \rho_{eff}(\vec{x})$ , изображенному на рис. 7. Поэтому на больших расстояниях от вылетающей иона работает "хвост"  $\delta \rho_{eff}$  и  $\delta \rho(\vec{x}, t)$  положительна. Вблизи внешнего возмущения поле фононов  $\delta \rho$  отрицательно и достигает абсолютного минимума внутри внешней частицы, где  $\delta \rho/\rho(0) \approx -1$ . Трудно сказать, имеет ли физический смысл столь большая амплитуда  $\delta \rho$ , поскольку мы пренебрегали прямыми соударениями нуклонов /1/.. Однако тенденция к "вытеканию" ядерной материи из области сжатия, обязанная коллективным процессам, сохранится, по-видимому, и в реальном случае.

Максимальное "переуплотнение"  $\delta \rho/\rho(0)$  на фронте согласуется с оценкой в однородной ферми-жидкости. Простые вычисления с использованием уравнения (29) и возмущения вида (36) дают для скачка  $\delta \rho$  ( $\beta > 1$ )

$$|\delta \rho/\rho(0)| \quad \text{на фронте} \quad \approx 1/2\beta$$

Учет разумного затухания  $\Gamma(\omega^2)$ , не меняя качественной картины распределения величины  $\delta\rho/\rho(\omega)$ , уменьшает ее в  $1,5 \pm 2$  раза.

Наконец, используя общие формулы (37), (38) были рассчитаны энергетические потери  $E^*$  в конечном ядре. В черенковском режиме ( $v/c_3 > 1$ ) выражение

$$E^* \approx \delta A c_3^2 \left( \frac{\delta A c_3^2}{E_{кин}} \right) \frac{R}{R'} \sim \frac{R}{R'} \beta^{-2}$$

хорошо описывает как абсолютную величину потерь за пролет, так и зависимость от параметров  $\beta$  и  $R/R'$ . Для малых  $\beta$  ( $\leq 1$ ) потери больше энергии млетающей частицы  $E_{кин}$ , что указывает на непригодность приближения заданного движения иона с

$\vec{v} = const$ . Численный анализ показывает, что область применимости этой аппроксимации ограничена  $\beta \geq 2$ .

Качественная картина зависимости  $E^*(t)$  при внезапном контакте подтверждаем оценку (40), полученную в однородной ферми-жидкости. Численная величина потерь оказывается равной (для  $t > 2R'/c_3$ ).

$$E^* \approx 0,3 \delta A c_3^2$$

### 5. Нелинейная гидродинамика.

#### Квантовая картина эффекта.

Здесь мы намерены обсудить два круга вопросов.

а) Поправки к гидродинамическому приближению для гигантских резонансов.

в) Степень применимости квазиклассического описания возбуждения гигантских резонансов в рассеянии ионов.

I. Уравнения (1), (2) были получены разложением линейного уравнения (3), для вариации матрицы плотности  $\delta\rho$  по параметру  $\epsilon/\lambda$  (9). Следующие итерации точного пропагатора в (16) по степеням  $\epsilon/\omega^2$  не представляют особого интереса. Их роль сводится лишь к не принципиальным поправкам к  $U_2(\vec{x})$  и спектру частот  $\omega_2$ . Существенным, по-видимому, является учет скоростных и спиновых членов взаимодействия  $G$ . Структура правой части в (16) в общем случае такова

$$\sum_{22'} \langle 12 | G^{(\pm)} | 21' \rangle \frac{n_2 - n_{2'}}{(\epsilon_2 - \epsilon_{2'})^2 - \omega^2} \left[ V_{22'}^{(\pm)} (\epsilon_2 - \epsilon_{2'}) - \omega V_{22'}^{(\mp)} \right]$$

(индексом  $\pm$  отвечают соответственно  $T$ -четные и  $T$ -нечетные компоненты,  $T$  - оператор инверсии времени). Отсюда видно, что для взаимодействия  $G$ , имеющего обе компоненты  $G^{(\pm)}$  (например, для спин-орбитальных сил) разложение пропагатора в (16) начинается с  $\epsilon/\omega$ , а не  $\epsilon/\omega^2$ . Ток  $\vec{j}$  в этом случае нелокален, а коллективное движение становится, вообще говоря, вихревым.

Наконец, особый интерес представляют собой нелинейные поправки. Здесь мы только наметим путь их вычисления в рамках зависящего от времени метода Хартри-Фока. В координатном представлении для матрицы плотности  $\rho(\vec{x}|\vec{x}', t)$  имеем ( $\hbar = m = 1$ )

$$i \dot{\rho}(\vec{x}|\vec{x}', t) = -\frac{1}{2} (\Delta - \Delta') \rho + \rho \cdot (\Sigma(\vec{x}', t) - \Sigma(\vec{x}, t)) \quad (48)$$

$$\Sigma(\vec{x}, t) = \int d\vec{x}' G(\vec{x}|\vec{x}') \rho(\vec{x}'|\vec{x}', t) \quad (49)$$

$$\rho^2 = \rho \quad (50)$$

(силы  $G$  в (49) могут зависеть и от  $\rho(\vec{x}) = \rho(\vec{x}|\vec{x})$ ). Вывод уравнений гидродинамики из (48)-(50) основан на разложении этой системы по антиадиабатическому параметру (9). В первом порядке имеем

$$i \dot{\rho}^{(1)} \approx \rho^{(1)} (\Sigma(\vec{x}', t) - \Sigma(\vec{x}, t))$$

откуда

$$\rho^{(2)} = \rho^0(\vec{r}|\vec{r}') \exp(i\psi(\vec{r};t) - i\psi(\vec{r}';t)) \quad (51)$$

где

$$\psi(\vec{r};t) = -\int dt' \Sigma(\vec{r};t')$$

Статическую величину  $\rho^0(\vec{r}|\vec{r}')$  можно отождествить, например, с оболочечной матрицей плотности или с начальным значением  $\rho(\vec{r}|\vec{r}';t=0)$  \*)

Ток  $\vec{J}(\vec{r};t)$  в этом приближении равен  $\vec{J}(\vec{r};t) = 1/2i(\nabla - \nabla')\rho(\vec{r}|\vec{r}';t)|_{\vec{r}'=\vec{r}} \approx \rho^0(\vec{r})\frac{\partial\psi}{\partial\vec{r}}$

В следующем порядке

$$i\dot{\rho}^{(2)} = -1/2(\Delta - \Delta')\rho^{(2)} + \rho^{(2)}(\Sigma(\vec{r};t) - \Sigma(\vec{r}';t)) \quad (52)$$

Подставляя  $\rho^{(2)}$  в (52), при совпадающих аргументах  $\vec{r}'=\vec{r}$  найдем уравнение непрерывности

$$\frac{\partial}{\partial t}\rho^{(2)} + \text{div}(\rho^0(\vec{r})\frac{\partial\psi}{\partial\vec{r}}) = 0$$

Тексты (49), (50) замыкают нашу аппроксимацию. Опуская пренебрежимые вклады, выпишем вклад  $\rho^{(2)}$  в ток  $\vec{J}(\vec{r};t)$

$$\vec{J}^{(2)} = -\rho^0 \int dt' (\nabla\psi\nabla)\nabla\psi + \int dt' \nabla\psi \text{div}(\rho^0\nabla\psi) + \int dt' (\Delta - \Delta')(\nabla - \nabla')\rho^0(\vec{r}|\vec{r}')|_{\vec{r}'=\vec{r}} \quad (53)$$

Дифференцируя по  $t$  полный ток  $\vec{J} = \vec{J}^{(1)} + \vec{J}^{(2)}$ , представляя его в виде:  $\vec{J} = \rho(\vec{r};t)\vec{v}$  ( $\dot{\rho} = -\Sigma$ ;  $\vec{v} = \nabla\psi$ ,  $\rho = \rho^0 + \rho^{(2)}$ ) найдем

$$\rho(\vec{r};t)\frac{\partial\vec{v}}{\partial t} + \rho^0(\vec{r})(\vec{v}\nabla)\vec{v} = -\rho^0(\vec{r})\nabla(\Sigma(\vec{r};t) - \Sigma^0(\vec{r})) \quad (54)$$

\*) Произвол в выборе  $\rho^0(\vec{r}|\vec{r}')$  является необходимым, т.к. наше приближение годится лишь для описания коллективного движения с большой скоростью. Локальная (гидродинамическая) аппроксимация несправедлива, например, для основного состояния, в котором существенны матричные элементы  $\langle \vec{r}|\hat{\rho}|\vec{r}'\rangle \in |\vec{r}-\vec{r}'| \sim R$ .

Выражение (54) совпадает с уравнением движения в гидродинамике классической жидкости. Последний член в (54) связан с "внешним" давлением  $\Sigma^0(\vec{r}) (= \int dt' Q(\vec{r}|\vec{r}')\rho^0(\vec{r}'|\vec{r}'))$  - статическая матрица плотности  $\rho^0(\vec{r}|\vec{r}')$  определяется одночастичным потенциалом  $\Sigma^0(\vec{r})$ .

Исследование сходимости рассмотренной аппроксимации не входит в задачу настоящей работы. Отметим только, что малым параметром ее является отношение средней скорости нуклонов к скорости коллективного движения. Интересной физической задачей является исследование возможностей роли нелинейности при объемных колебаниях ядра с диффузной границей, амплитуда которых на краю ( $x \sim R$ ) растет как  $(\rho(x))^{-1/4}$  (раздел 2, стр.10). В формальном плане интерес представляют ограничения на коллективное движение обусловленные фермиевской нормировкой  $\rho^2 = \rho$ .

2. Исследуя рассеяние ионов через виртуальные состояния гигантских резонансов, мы всюду использовали популярное в настоящее время методы временного описания процесса рассеяния. Сложность изучаемого процесса оправдывает применение квазиклассических методов, позволяющих получать простые и наглядные результаты, однако более строгая постановка задачи представляется необходимой.

Грубые оценки вероятности "выплескивания" и энергетических потерь указывают на важную роль ветви гигантских резонансов в неупругом рассеянии тяжелых ионов. Явно выделяя канал гигантских резонансов и аппроксимируя неколлективную часть взаимодействия потенциалом оптической модели для полного гамма-тоннажа сталкивающихся ядер имеем

$$H = H^0 + H_{core} + H_{int} \quad (55)$$

Здесь:  $\hat{H}^0$  - гамильтониан, описывающий упругое (или квазиупругое) рассеяние частиц, а  $H_{\text{coll}} = \sum_{\alpha} \omega_{\alpha} \sigma_{\alpha}^{\dagger} \sigma_{\alpha}$ . Энергию взаимодействия  $H_{\text{int}}$  мы найдем, линеаризуя взаимодействие между нуклонами ионов в духе RPA.

$$H' = \sum_{\alpha_1 \alpha_2 \alpha_3 \alpha_4} \langle \alpha_1 \alpha_2 | Q | \alpha_3 \alpha_4 \rangle a_{\alpha_2}^{\dagger} a_{\alpha_1}^{\dagger} a_{\alpha_3} a_{\alpha_4} \quad (56)$$

Разлагая оператор одночастичной матрицы плотности ( $a^{\dagger} a$ ) по операторам фононов  $\sigma$

$$a_{\alpha}^{\dagger} a_{\alpha} \rightarrow a_{\alpha}^{\dagger} a_{\alpha} \sum_{\alpha'} \delta p_{\alpha}(\alpha') \sigma_{\alpha'} + a.s. \quad (57)$$

найдем ( $V_{\alpha}(z) = T_{\alpha} (Q_{\alpha} \delta p_{\alpha}(z))$ )

$$H_{\text{int}} = \sum_{\alpha} a_{\alpha}^{\dagger} a_{\alpha} \sum_{\alpha'} V_{\alpha}(\alpha') \sigma_{\alpha'} \quad (58)$$

(суммирование в (58) идет по  $\alpha$  и  $\alpha'$  ( $\omega_{\alpha} = -\omega_{\alpha'}; \sigma_{\alpha} = \sigma_{\alpha'}^{\dagger}$ )). Физический смысл последнего выражения предельно нагляден. Рождение фонона в ядре увеличивает энергию системы на  $\omega_{\alpha}$  \*).

Для оценки точности использованных в предыдущих разделах квазиклассических уравнений типа (29) имеет смысл приближенный их вывод на основе (55). Записывая  $H_{\text{coll}}$  в гидродинамической форме (14), имеем

$$H_{\text{coll}} + H_{\text{int}} \rightarrow \mathcal{H}(\rho, \dot{\rho}) + T_1(\rho(t)V) \quad (59)$$

где  $\rho$  связаны соотношением (8) ( $\dot{\rho} = -V$ ), а  $\hat{\rho}(t)$  - оператор одночастичной матрицы плотности. Варьируя (59) по  $\rho$  и  $\dot{\rho}$  и согласно (15) найдем уравнения для классического поля фононов

$$\dot{\rho} + \text{div}(\rho \nabla \psi) = -\frac{\partial}{\partial t} \hat{\rho}(t) \quad (60)$$

$$-\dot{\psi} = \int d\vec{x}' Q(\vec{x}, \vec{x}') \delta \rho(\vec{x}', t) \quad (61)$$

\* ) Возможное отличие взаимодействия  $Q$  в (56) от используемого при нахождении собственных эффективных полей  $V_{\alpha}$ , можно учесть фактором в (58), который мы для простоты опускаем.

Эволюция во времени гейзенберговского оператора  $\hat{\rho}(t)$  определяется гамильтонианом  $H_0$ . В квазиклассическом пределе среднее значение  $\hat{\rho}(t)$  на траектории  $\vec{x}(t)$  имеет смысл внешнего (по отношению к  $\mathcal{H}$ ) возмущения плотности  $\delta \rho^0(\vec{x}, t)$ . В результате

$$\dot{\rho} + \text{div}(\rho \nabla \psi) \approx -\dot{\rho}^0(\vec{x}(t)) \quad (62)$$

Дифференцируя (61) по  $t$  и подставляя в него  $\dot{\rho}$  из (62), найдем эквивалентное (29) уравнение

$$-\ddot{\psi} = \int d\vec{x}' Q(\vec{x}, \vec{x}') \text{div}(\rho(\vec{x}') \frac{\partial \psi}{\partial \vec{x}'}) + \frac{\partial}{\partial t} \dot{V}(\vec{x}, t)$$

2. Количественный анализ изображенного на рис. I. процесса о гамильтонианом (55) требует сложных численных расчетов даже в простейшем случае рассеяния нуклонов на ядре. Для тяжелых ионов дело осложняется наличием большого числа неупругих каналов (передача нуклонов, деление и т.д.), которые вносят значительный вклад в полное сечение. Кроме технических проблем учет этих каналов может повлиять на характер и степень когерентности генерации фононов. Эти вопросы остаются открытыми и требуют дальнейшей работы. Простейшим, по-видимому, способом учета коллективных эффектов в реакциях с тяжелыми ядрами является включение когерентной моды в кинетические уравнения типа используемых в численных экспериментах /1/. Стандартным методом Боголюбова /24/ можно получить кинетическое уравнение, содержащее как столкновительный интеграл, так и эффекты самосогласования /25/.

Для иллюстрации упрощений, возникающих при использовании высокочастотного приближения (17), мы рассмотрим простую модель возбуждения гигантских резонансов в реакции типа  $(N, N')$ . Гамильтониан (55) имеет вид



$$H = \frac{\vec{p}^2}{2} + U_{\text{опт.}}(\vec{x}) + \sum_{\alpha > 0} \omega_{\alpha} \alpha_{\alpha}^+ \alpha_{\alpha} + \sum_{\alpha} U_{\alpha}(\vec{x}) \alpha_{\alpha} \quad (63)$$

Для сечения реакции ( $N, N'$ ) с возбуждением фотона  $|\omega_{\alpha}\rangle$ , в борновском приближении найдем

$$\frac{d\sigma_{\alpha}}{d\Omega} = \frac{P'}{P} (\frac{e}{P_F})^2 \left| \int d\vec{x} e^{i\vec{q}\cdot\vec{x}} U_{\alpha}(\vec{x}) \right|^2 \quad (64)$$

где  $\vec{p} - \vec{p}' = \vec{q}$  - переданный импульс. Интеграл в (64) легко вычисляется для гидродинамических функций:  $U_{\alpha} = C_{\alpha} j_{\ell}(\alpha_{\alpha} \frac{x}{R}) Y_{\ell m}(\hat{n})$

Пренебрегая потерями энергии, по-

лучим ( $\alpha = qR \approx pR\theta$ )

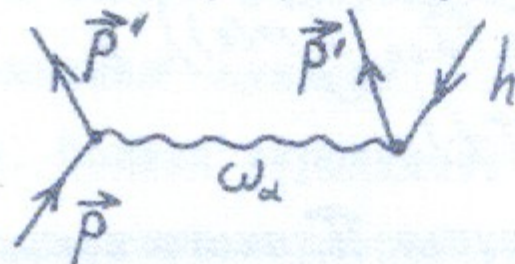
$$\frac{d\sigma_{\alpha}}{d\Omega} = \frac{3\pi R^2 (e/P_F)^2 (\alpha_{\alpha} + 1) \alpha_{\alpha} C_{\alpha}}{2} \frac{\left( \frac{j_{\ell}(\alpha_{\alpha}) j_{\ell}(\alpha_{\alpha}) - \alpha_{\alpha} j_{\ell}(\alpha_{\alpha}) j_{\ell}(\alpha_{\alpha})}{\alpha_{\alpha}^2 - \alpha_{\alpha}^2} \right)^2}{\alpha_{\alpha}^2 - \alpha_{\alpha}^2} \quad (65)$$

Абсолютное значение  $\sigma$  в (64) очевидно сильно завышено. (это является общим дефектом плоскородного приближения). Имеет смысл, однако, относительная вероятность возбуждения резонансов с разными моментами  $\ell$ . Функция (65) была протабулирована для низайших возбуждений разной мультипольности. Результаты представлены графиком (рис.8) (в единицах  $\frac{3}{2}\pi R^2 (e/P_F)^2$ )  $d\sigma_{\alpha}/d\Omega$  как функции  $qR$ . Как и следовало ожидать, сечение имеет резкие максимумы в точках  $qR \approx \alpha_{\alpha}$ . Отметим также относительно малое сечение для монопольного резонанса.

В заключение раздела рассмотрим реакцию типа ( $N, 2N$ ), протекающую через промежуточные состояния гигантских резонансов. Амплитуда этого процесса, в пренебрежении обменными графиками, равна

$$M_{i \rightarrow f} = \sum_{\alpha} \langle \vec{p}' | U_{\alpha} | \vec{p}'' \rangle \frac{2\omega_{\alpha}}{\omega_{\alpha}^2 - (\epsilon_{\vec{p}} - \epsilon_{\vec{p}'})^2} \langle \vec{p}' | U_{\alpha} | h \rangle \quad (66)$$

Обозначения в (66) следуют диаграмме



Для сечения реакции имеем

$$\frac{d^2\sigma}{d\vec{p}' d\vec{p}''} = \frac{2\pi}{P} \frac{2\omega_{\alpha}}{\omega_{\alpha}^2 - (\epsilon_{\vec{p}} - \epsilon_{\vec{p}'})^2} U_{\alpha}^*(\vec{p}' | \vec{p}'') U_{\alpha}(\vec{p}' | h) \delta(\epsilon_{\vec{p}} + \epsilon_h - \epsilon_{\vec{p}'} - \epsilon_{\vec{p}''}) \quad (67)$$

Наша цель состоит в том, чтобы, не вычисляя (67), привести это выражение к виду вероятности "выплескивания" (25)\*.

Обозначим:  $\vec{k} = \vec{p}'' - \vec{p}$ ;  $\epsilon_{\vec{p}} - \epsilon_{\vec{p}''} \equiv \omega = \epsilon_{\vec{p}'} - \epsilon_h = -\vec{k} \cdot \vec{v}$

где  $\vec{v} = \vec{p} + \vec{k}/2$ . Для малых  $k \sim p_F \ll p$ , интегрируя (67) по  $\vec{p}''$ , найдем

$$\frac{d\sigma}{d\vec{p}'} = \frac{2\pi}{P} \sum_{\alpha\beta} \frac{4\omega_{\alpha}\omega_{\beta}}{(\omega^2 - \omega_{\alpha}^2)(\omega^2 - \omega_{\beta}^2)} U_{\alpha}(\vec{p}' | h) U_{\beta}^*(\vec{p}' | h) I_{\alpha\beta} \quad (68)$$

где

$$I_{\alpha\beta} = (2\pi)^{-3} \int d\vec{k} d\vec{x} d\vec{y} e^{-i\vec{k}\cdot(\vec{x}-\vec{y})} U_{\alpha}^*(\vec{x}) U_{\beta}(\vec{y}) \delta(\omega + \vec{k}\cdot\vec{v}) \quad (69)$$

Представим  $\delta(\omega + \vec{k}\cdot\vec{v})$  интегралом Фурье по времени  $t$  и проинтегрируем по  $\vec{k}$ , в результате

$$I_{\alpha\beta} = \frac{1}{2\pi P} \int d\vec{b} \int d\vec{x}_1 d\vec{y}_1 e^{i\frac{\omega}{v}(x_1 - y_1)} U_{\alpha}^*(\vec{b}, x_1) U_{\beta}(\vec{b}, y_1) \quad (70)$$

Подставляя (70) в (68), после простых преобразований окончательно найдем

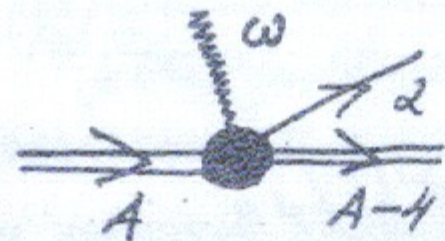
$$\frac{d\sigma}{d\vec{p}'} \approx \int d\vec{b} \left| \int_{-\infty}^{\infty} dt e^{i\omega t} \langle \vec{p}' | \delta Z(\vec{b} + \vec{v}t) | h \rangle \right|^2 \quad (71)$$

\* Эти вычисления проделаны В.Б.Телицыным

где  $\delta\Sigma$  - решение уравнения для эффективного поля (за вычетом  $V^0$ ) с правой частью  $V^0(\alpha) = T_2(\alpha_{12} \delta\rho^0(\alpha))$ , а

$$\delta\rho^0(\vec{r}, t) = \delta(\vec{r} - \vec{v} - \vec{v}t) \quad (72)$$

Таким образом, если переданный импульс  $\vec{K}$  много меньше импульса налетающего нуклона, то сечение реакции  $(N, 2N)$  представляется проинтегрированной, по прицельному параметру  $\vec{b}$ , вероятности "выплескивания" (25). При выводе (71) не использовалось гидродинамическое приближение для волновых функций гигантского резонанса. Исследование "выплескивания" кластеров /19/ требует дополнительной информации. Например, для нахождения сечения реакции  $(N, N'2)$  необходимо знать вершину



В квазиклассическом приближении (71) параметризация этого графика сводится к нахождению  $\alpha$  - частичного вклада в самосогласованное поле ядра.  $\delta\Sigma\{\alpha\}$ .

Заметим в заключение, что формула (71) получена в плосковолновом приближении. В эйкональной аппроксимации прямолинейная траектория в (72) заменится, очевидно, на  $\vec{X}_{\text{кл}}(t)$  - классическую траекторию нуклона в искаженном ядерном потенциале.

#### Сводка результатов

1. В рамках теории конечных ферми-систем обоснована гидродинамическая модель гигантских резонансов - высокочастотной ветви нулевого звука в ядрах /7,17/. Исследованы поправки к гидродинамическому режиму. Найденные уравнения могут быть использованы для полуквантового расчета структуры гигантских резонансов.

2. В модели однородной ферми-жидкости вычислена вероятность "выплескивания" нуклона  $W(\vec{p})$  фронтом ударной волны нулевого звука. Полная вероятность оказывается значительной, однако импульсные и угловые распределения размываются, вследствие фермиевского движения нуклонов, на величину  $\sim v_F/2c_3$ . Получены оценки энергетических потерь на возбуждение гигантских резонансов в "черенковском" режиме и приближении внезапного контакта сталкивающихся ядер. Оптимальная энергия для наблюдения ядерного эффекта Черенкова /9/ оказывается порядка 100 + 150 МэВ/нуклон. Потери энергии при внезапном контакте велики и могут быть ответственными за "трение" в глубоко-неупругих процессах /23/.

3. Рассмотрена пространственно-временная картина генерации гигантских резонансов в конечном ядре. Вычисления, в целом, подтверждают величину и характер эффекта, исследованного в приближении однородной ферми-жидкости. Найденное распределение поля фононов может оказаться полезным для качественных предсказаний угловых и энергетических спектров вторичных частиц.

4. В рамках RPA получен гамильтониан нуклон-фононного взаимодействия. Анализируется область применимости квазиклассического описания коллективного канала в рассеянии тяжелых ионов. Оценено сечение неупругого рассеяния быстрых нуклонов с возбуждением гигантских резонансов. На примере реакции  $(N, 2N)$  выяснена применимость картины "выплескивания".

Суммируя полученные результаты можно утверждать, что канал гигантских резонансов играет важную роль в неупругих соударениях тяжелых ионов. Надеемся, что полуквантовые оценки коллективных эффектов, полученные в настоящей работе, послужат основой для

целенаправленных численных расчетов.

Автор глубоко благодарен С.Т.Беляеву за поддержку и ценные критические замечания. Я признателен также В.Б.Телицыну и В.И.Юрченко за большую помощь в работе. Весьма полезными были обсуждения с В.Ф. Дмитриевым, В.Г.Зелевинским, Е.А.Кузнецовым, Л.А.Сливом и В.А.Ходяевым.

Подписи и рисункам

Рис. 2. Угловое распределение нуклонов, "выплескиваемых" фронтом ударной волны нулевого звука:  $\beta = v/c_s = 1.5$ ,  $P_F/2c_s = 1/3$

Рис. 3. Проинтегрированный по углам импульсный спектр нуклонов:  
 $\beta = 1.5$ ,  $P_F/2c_s = 1/3$

Рис. 4-6. "Изобары" поля фононов ( $\delta\rho(\vec{r}, t)/\rho(0)$  в %) в момент времени, когда млетающий ион (радиуса  $R' = 0.2R$ ) достиг центра ядра-мишени.

Рис. 7. Эффективное возмущение  $\delta\rho_{eff}(\vec{r})$  - правая часть уравнения (29).

Рис. 8. Сечение возбуждения гигантских резонансов разной мультипольности в реакции типа  $(N, N')$ .

## Л и т е р а т у р а

- /1/. А.И.Базь и др. Препринт ИАЭ 2660 (1976).
- /2/. J. P. Bondorf, S. Gaptman, C. Noack Труды Международной конференции по избранным вопросам структуры ядра. т. I, стр. 169.
- /3/. К.К. Gudima, V. D. Toneev Труды Международной конференции по избранным вопросам структуры ядра. т. I, стр. 168. Дубна (1976).
- /4/. W. Sheid et al. *Phys. Rev. Lett.* 32, 741, (1974)  
M. I. Sobel et al. *Nucl. Phys.* A251, 502, (1975)
- /5/. A. E. Glassgold et al. *Ann. of Phys.* 6, 1, (1959)
- /6/. А.Б.Мигдал. "Теория конечных ферми-систем и свойства атомных ядер". Наука. (1965).
- /7/. Б.А.Румянцев. Письма в ЖЭТФ 22, 114, (1975).
- /8/. S. T. Belyaev, B. A. Rumjantsev, *Phys. Lett.* 53B, 6, (1974)
- /9/. Б.А.Румянцев, В.Б.Телицын, В.И.Юрченко. Письма в ЖЭТФ, 23, 309, (1976).
- /10/. Б.А.Румянцев, В.И.Юрченко. Препринт ИЯФ СО АН (в печати).
- /11/. Л.Д.Ландау, Е.М.Лифшиц. "Механика сплошных сред". Гостехиздат (1944).
- /12/. Б.А.Румянцев. ЯФ, 15, 46 (1972).
- /13/. К.Черчиньяни. "Математические методы в кинетической теории газов" "Мир", (1973).
- /14/. Д.Пайкс, Ф.Нозьер. "Теория квантовых жидкостей" Мир (1967).
- /15/. Д.Таулес. "Квантовая механика систем многих частей". ИИ (1963).

- /16/. Б.Л.Бирбрадр. ЯФ, 5, 746, (1967).
- /17/. Б.А.Румянцев, В.Б.Телицын. ЯФ (в печати), препринт ИЯФ СОАН 76-83.
- /18/. В.А.Ходель, ЯФ, 19, 792, (1974).
- /19/. Л.А.Слив, Б.И.Барц. Материалы 10-ой Зимней Школы ЛИЯФ, 178, (1975), Л.А. Слив, *Phys. Lett.* 58B, 266, (1975)
- /20/. P. Carlos et al. *Nucl. Phys.* A219, 61, (1974)
- /21/. Л.Д.Ландау. ЖЭТФ, 32, 59, (1957).
- /22/. И.Айзенберг, В.Грайнер. "Модели ядер. Коллективные и одночастичные явления". Атомиздат, (1975).
- /23/. В.В.Волков, ЭЧАЯ, 6, 1040, (1975).
- /24/. И.И.Боголюбов "Проблемы динамической теории в статистической физике", Гостехиздат, (1946).  
И.И.Боголюбов, К.П.Гуров, ЖЭТФ, 17, 614, (1947).
- /25/. Б.А.Румянцев, С.А.Хейфец, ЯФ, 21, 510, (1975).

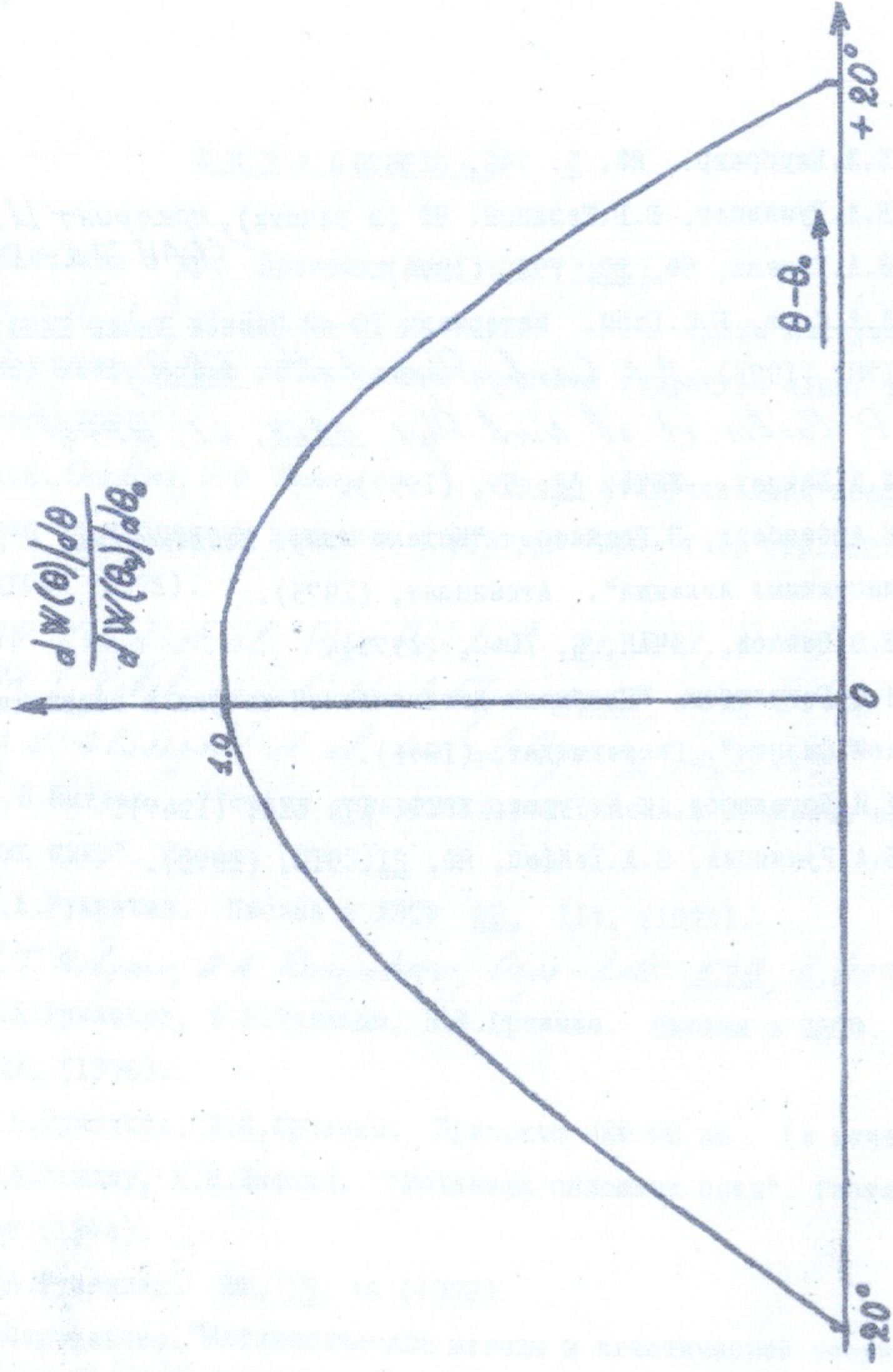


рис. 2

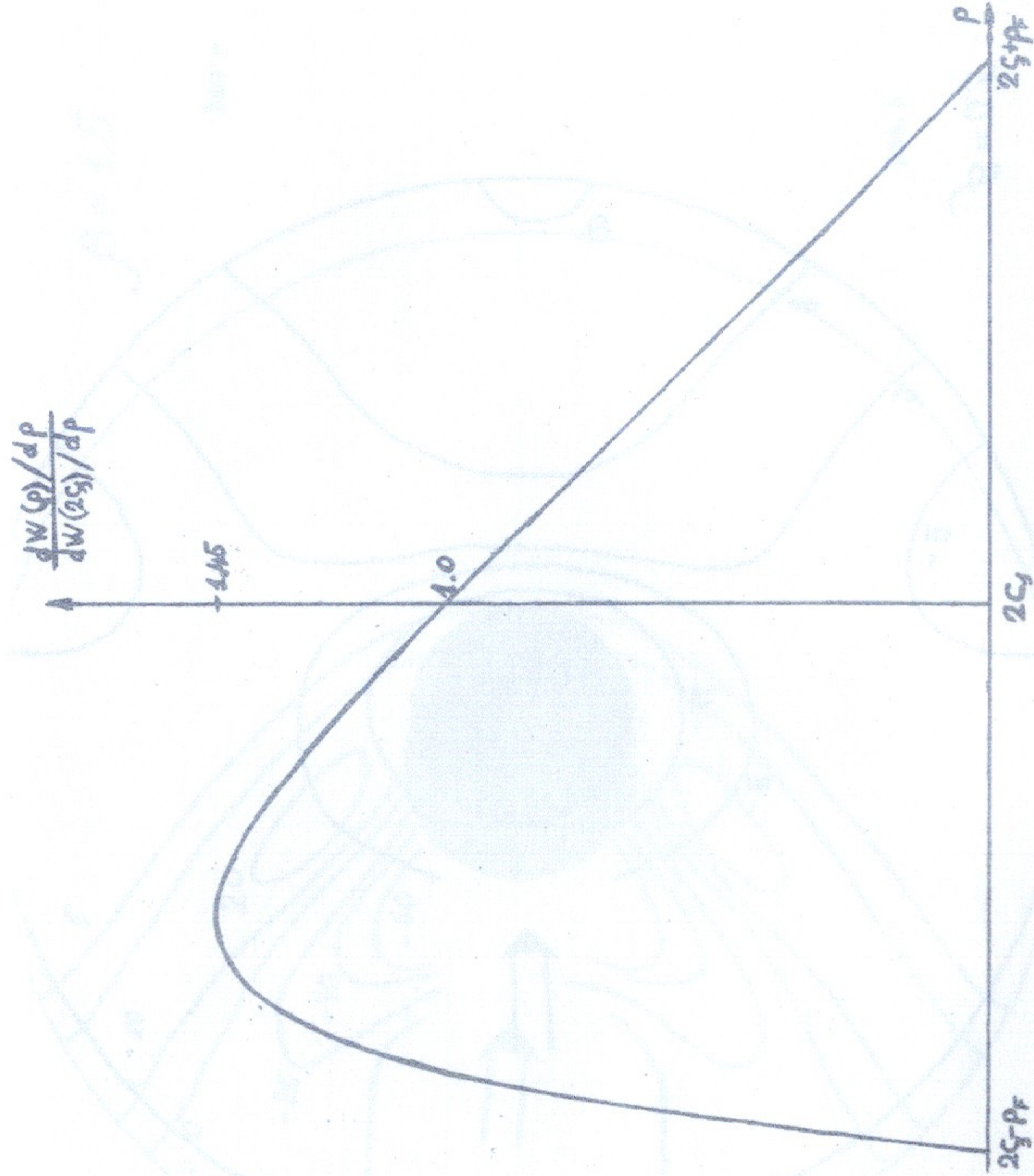
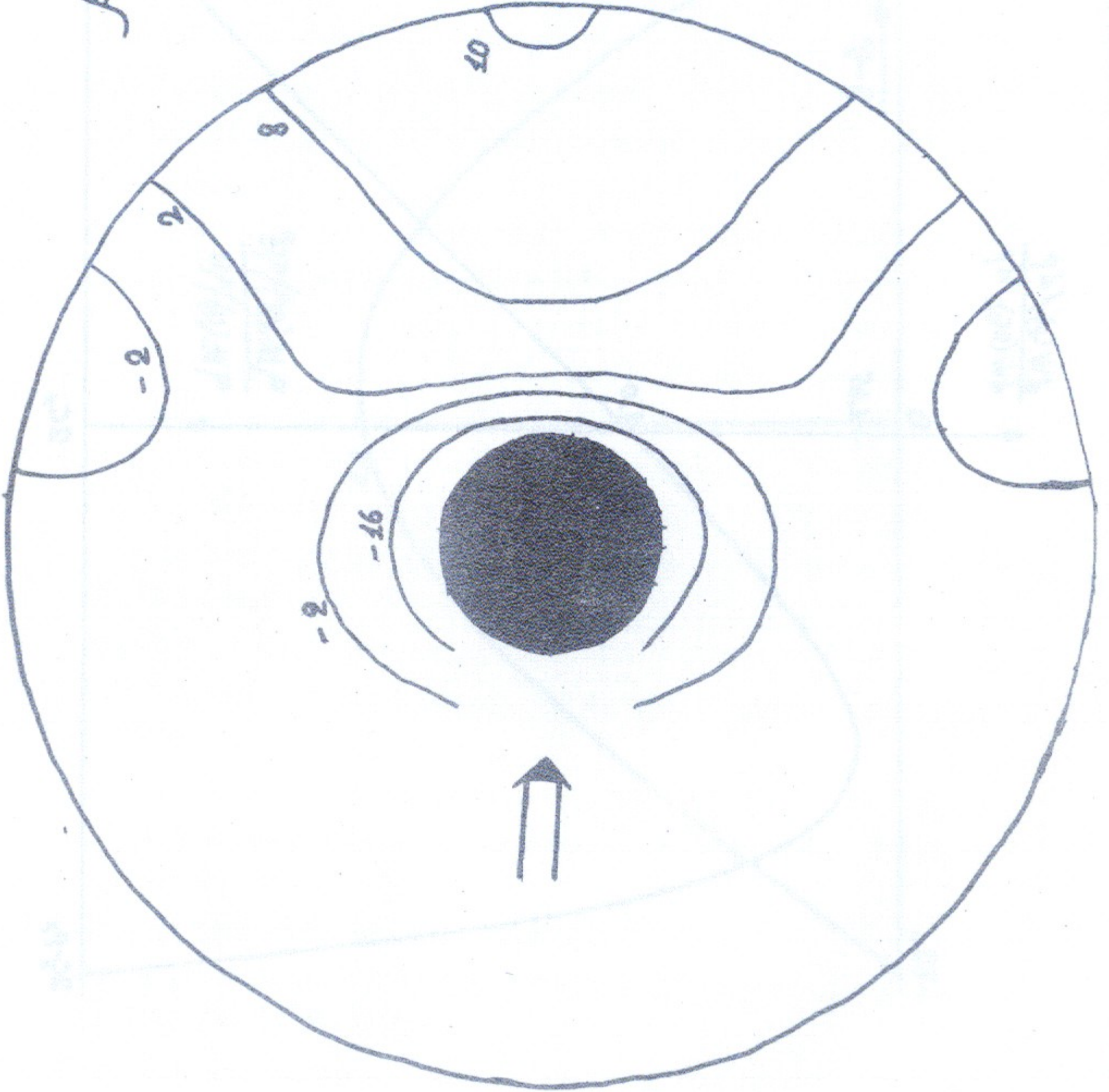


рис. 3

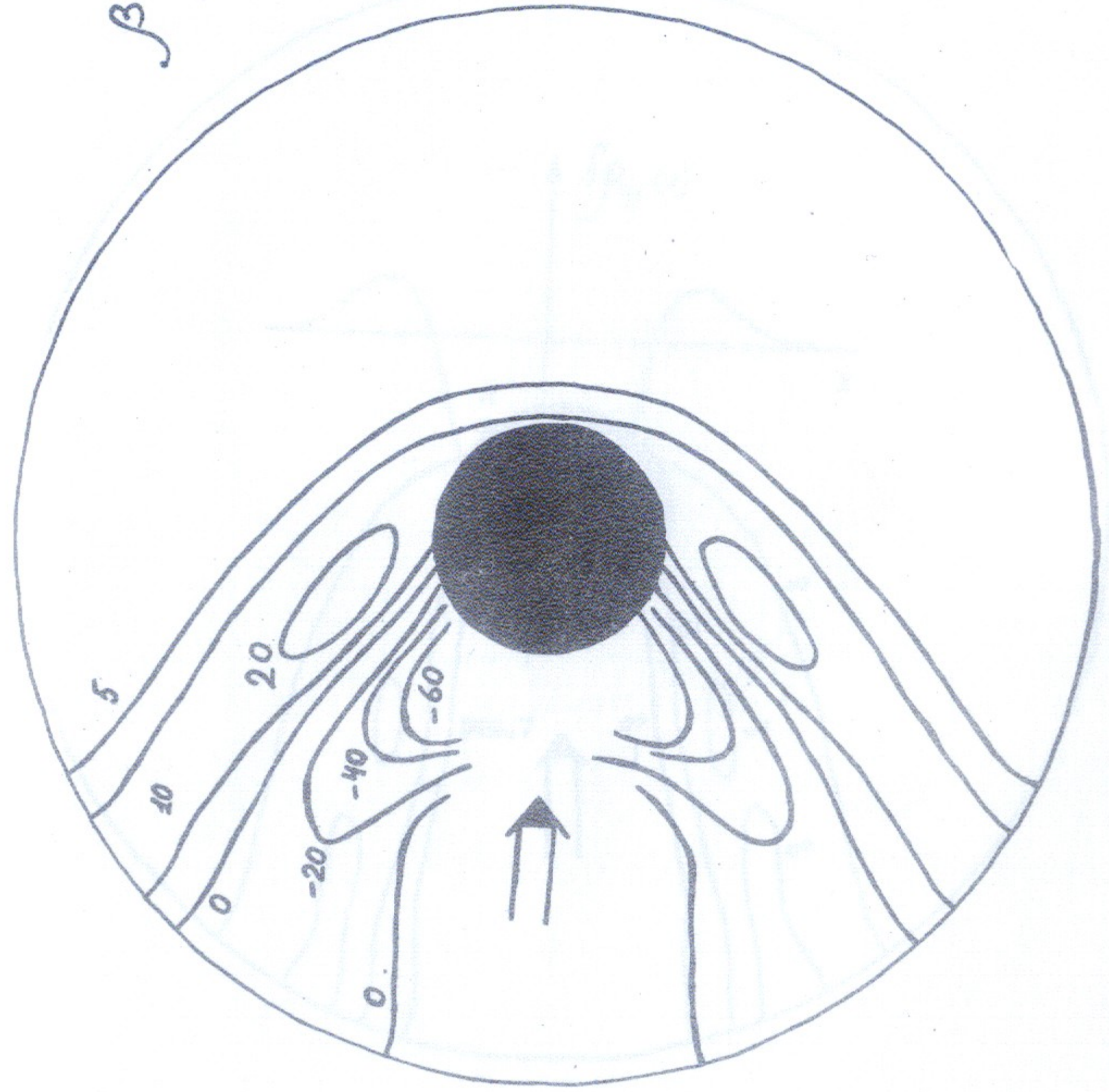
$\beta = 0.5$

FIG. 4



$\beta = 1.5$

FIG. 5



$\beta = 4$

FIG. 6

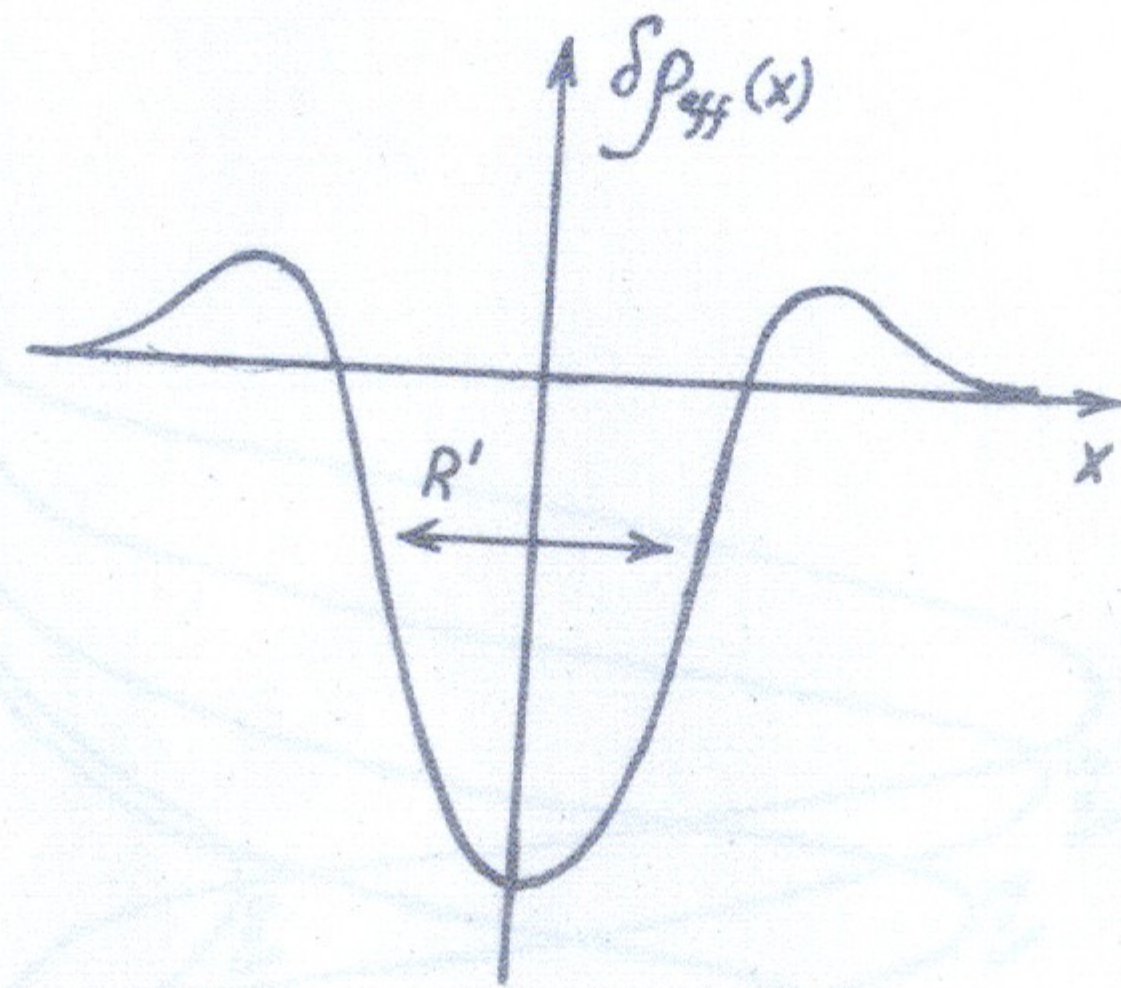
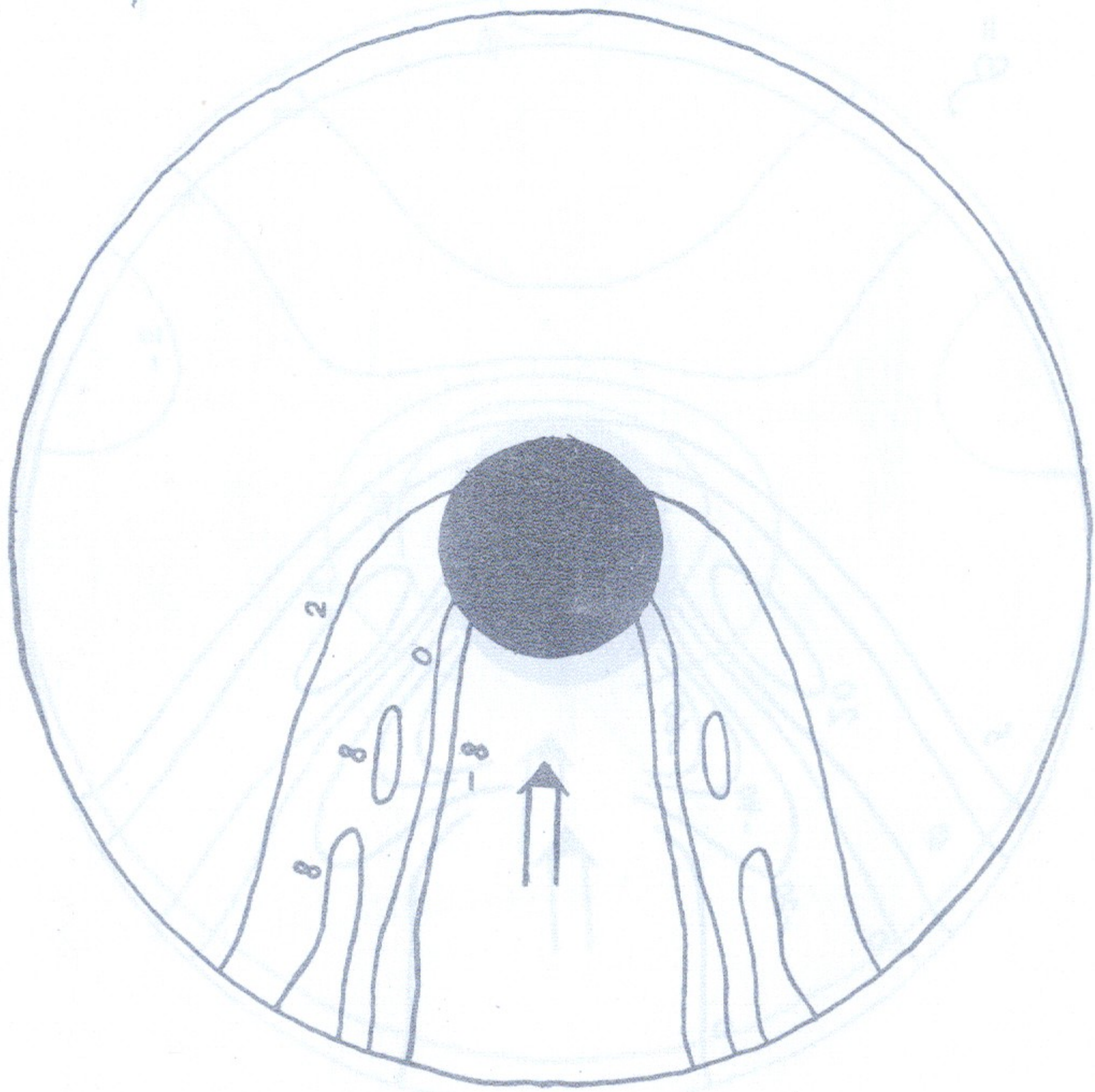
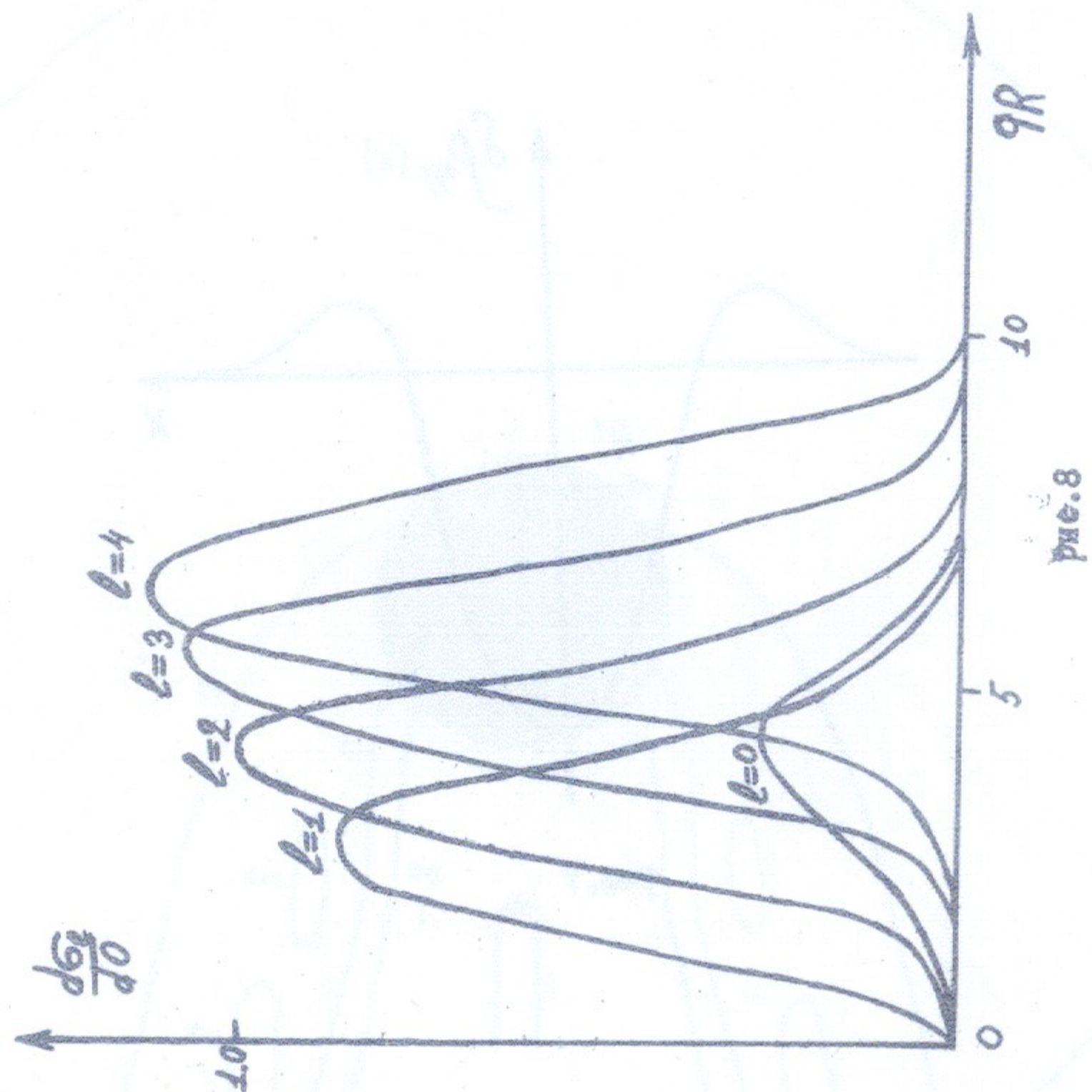


FIG. 7



Работа поступила - 30 декабря 1976 г.

Ответственный за выпуск - С.Г. ПОПОВ

Подписано к печати 17.11-1977 г. МН 02662

Усл. 2,7 печ.л., 2,2 учетно-изд.л.

Тираж 150 экз. Бесплатно

Заказ № 19.

Отпечатано на ротапринтере ИЯФ СО АН СССР